

Ш-574

ОБЪЕДИНЕННЫЙ ИНСТИТУТ ЯДЕРНЫХ ИССЛЕДОВАНИЙ
ЛАБОРАТОРИЯ ЯДЕРНЫХ ПРОБЛЕМ

13 - 9080

ШЕСТАКОВ
Владимир Дмитриевич

ИССЛЕДОВАНИЕ ДИНАМИКИ ПАРОВОГО ПУЗЫРЬКА
В УЛЬТРАЗВУКОВЫХ ПУЗЫРЬКОВЫХ КАМЕРАХ

Специальность 01.04.01 - экспериментальная физика

Автореферат диссертации на соискание ученой степени
кандидата физико-математических наук

(Диссертация написана на русском языке)

Дубна 1975

Работа выполнена в Лаборатории ядерных проблем
Объединенного института ядерных исследований

Научные руководители:

кандидат физико-математических наук В.А. Жуков.
кандидат физико-математических наук Л.Г. Ткачев.

Официальные оппоненты:

доктор физико-математических наук Л.К. Зарембо,
доктор физико-математических наук Д.А. Будагов.

Ведущее учреждение: Московский инженерно-физи-
ческий институт.

Автореферат разослан " _____ " 1975 г.
Защита диссертации состоится " _____ " 1975 г.
в _____ час. на заседании Ученого Совета Лаборатории
ядерных проблем Объединенного института ядерных ис-
следований, г. Дубна.

С диссертацией можно ознакомиться в библиотеке
ОИЯИ.

Ученый секретарь Совета
кандидат физико-математических наук

Д.А. БАТУСОВ.

13 - 9080

ШЕСТАКОВ
Владимир Дмитриевич

ИССЛЕДОВАНИЕ ДИНАМИКИ ПАРОВОГО ПУЗЫРЬКА
В УЛЬТРАЗВУКОВЫХ ПУЗЫРЬКОВЫХ КАМЕРАХ

Специальность 01.04.01 - экспериментальная физика

Автореферат диссертации на соискание ученой степени
кандидата физико-математических наук

(Диссертация написана на русском языке)

Объединенный институт
ядерных исследований
БИБЛИОТЕКА

Выдающиеся качества пузырьковой камеры как прибора для изучения закономерностей микромира явились причиной того поразительного прогресса, который был достигнут в технике сооружения этих камер, выросших от лабораторной колбы Глезера до современных крупных установок индустриального типа, содержащих десятки кубических метров рабочего вещества. Особая роль пузырьковых камер связана в первую очередь с её возможностями как 4π - детектора, обеспечивающего также регистрацию вершины взаимодействия. Последнее обстоятельство имеет исключительно важное значение именно в области физики высоких энергий, где эффективность кинематической идентификации канала реакции весьма критическим образом зависит от точности знания величин импульсов и углов вылета вторичных частиц в точке взаимодействия.

Проведение экспериментов на ускорителях с энергией в сотни ГэВ вызвало к жизни новое поколение пузырьковых камер, предназначенных для использования не в качестве самостоятельного детектора, а как часть гибридной установки, включающей также систему электронных детекторов^{/1/}.

Использование пузырьковых камер в экспериментах совместно с электронными детекторами частиц выдвигает на первый план требование быстрого действия камер. Практическая реализация этого требования осуществляется обычно за счет создания быстродействующих систем изменения давления.

Вместе с тем, в ряде ведущих центров в области физики высоких энергий проводятся методические исследования с целью создания нового прибора - ультразвуковой пузырьковой камеры, в которой вместо сложной и инерционной расширительной системы используется система неподвижных ультразвуковых излучателей^{/2-7/}. Ультразвуковые пузырьковые камеры обладают высоким быстрым действием и с их созданием связывают надежды на возможность работы в управляемом режиме, что имеет

важное значение для камер, используемых в гибридных установках.

К началу проведения описываемого в диссертации цикла работ предпринимались попытки создания ультразвуковых пузырьковых камер. Между тем теоретические представления о динамике роста паровых пузырьков в полях переменного давления были совершенно недостаточны ни для того, чтобы сделать заключение о принципиальной возможности создания такой камеры, ни для того, чтобы получить рекомендации о выборе рабочего режима.

В настоящей диссертации излагаются результаты исследования динамики парового пузырька, которое было выполнено автором в Лаборатории ядерных проблем Объединенного института ядерных исследований с целью изучения практических способов создания детекторов нового типа для эксперимента в пучках частиц высоких энергий.

В первой главе дается краткий обзор экспериментов, в которых исследовалось влияние различных типов ионизирующего излучения на величину кавитационных порогов в жидкостях, описываются эксперименты с ультразвуковыми пузырьковыми камерами^{/2-7/} и приводится краткий обзор теоретических исследований динамики одиночного парового пузырька в жидкости, как при постоянном давлении, так и в ультразвуковом поле.

Во второй главе сформулирована система уравнений, описывающих поведение парового пузырька в жидкости с учетом тепло- и массообмена, впервые получены и исследованы характерные численные решения, соответствующие поведению пузырька как в ультразвуковой, так и в классической пузырьковых камерах.

Предполагается, что система пузырек-жидкость обладает сферической симметрией, пар в пузырьке насыщен и описывается уравнением состояния реального газа, жидкость несжимаема, пузырек однороден. При

указанных предположениях зависимость радиуса пузырька от времени описывается уравнением Рэлея

$$\ddot{R}R + \frac{3}{2} \dot{R}^2 = \frac{P' - P_0 - P \sin(2\pi ft + \varphi_0) - 2G/R}{\rho} \quad (1)$$

Зависимость давления пара в пузырьке от времени $P'(t)$ определяется из уравнения сохранения энергии в процессах испарения жидкости и конденсации пара на поверхности пузырька

$$\frac{\partial P'}{\partial t} = \frac{3}{R} \frac{-K \frac{\partial T}{\partial R} - P' L \dot{R} + T' \frac{\partial G}{\partial T'} \cdot \frac{2R}{R}}{L \frac{dP'}{dP} + C_s \rho \cdot \frac{dT'}{dP'}} \quad (2)$$

Для определения градиента температуры в жидкости у поверхности пузырька $\partial T / \partial r$, входящего в правую часть уравнения (2), необходимо в общем случае решать уравнение теплопроводности в жидкости

$$\frac{\partial T}{\partial t} + \frac{u_R R^2}{r^2} \cdot \frac{\partial T}{\partial r} = \frac{\mathcal{D}}{r^2} \cdot \frac{\partial}{\partial r} \left(r^2 \frac{\partial T}{\partial r} \right), \quad (3)$$

где R - радиус пузырька, r - координаты точки в жидкости, P_0 - статическое давление в жидкости, u_R - скорость жидкости у поверхности пузырька, ρ и ρ' - плотности насыщенного пара и жидкости, соответственно, T и T' - температуры жидкости и пара, L - теплота парообразования, C_s - теплоемкость насыщенного пара, \mathcal{D} и K - коэффициенты температуропроводности и теплопроводности, G - коэффициент поверхностного натяжения, f и P_I - частота и амплитуда пульсаций давления в жидкости, φ_0 - начальная фаза.

Начальные и граничные условия выбираются следующим образом: $P'(0) = P_0$, $T(t, r=R) = T', R \leq r < \infty$, $T(r, r = \infty) = T_\infty$ - начальная скорость $R(0)$ и начальное распределение в жидкости $T(0, r)$ определялись согласно^{/7/} в предположении, что при $t < 0$ ультразвуковое поле отсутствует. Термодинамические величины K, L, C_s считаются известными функциями вдоль кривой фазового равновесия.

Система уравнений (I)-(3) с уравнением состояния пара в пузырьке $P' = P'(T)$, граничными и начальными условиями позволяет описать поведение пузырька в ультразвуковой пузырьковой камере. Поскольку скорость движения границы раздела фаз неизвестна и определяется в процессе решения уравнений, то рассматриваемая задача является разновидностью проблемы Стефана. Аналитическое решение данной задачи получено для постоянного давления и неизменных теплофизических параметров жидкости^{/9,10/}. Для ультразвуковых полей с учетом тепло-массообмена ее решение получено в линейном приближении^{/11/}, которое, однако, не учитывает таких эффектов второго порядка, приводящих к росту пузырька, как выпрямленная тепловая диффузия. Для адекватного описания поведения пузырька в условиях реальной пузырьковой камеры (большие амплитуды, быстрое изменение давления, резонансные явления и т.д.) использование численных методов является пока единственным способом решения проблемы.

Поскольку в настоящее время отсутствуют универсальные критерии устойчивости разностных схем для подобных систем нелинейных уравнений, правомерность использованного метода проверялась сравнением полученных численных решений с известными аналитическими решениями, а также с экспериментальными данными. В качестве примера на рис. I сплошной линией представлено решение системы (I)-(3), соответствующее данным эксперимента по измерению размеров пузырька^{/12/}. Пунктирной линией показан ход изменения давления в жидкости. Как видно, теоретические кривые хорошо описывают рост и коллапс пузырька. Это позволяет считать, что использованная численная схема адекватна исходной системе уравнений и позволяет проводить расчеты динамики пузырька в ультразвуковом поле.

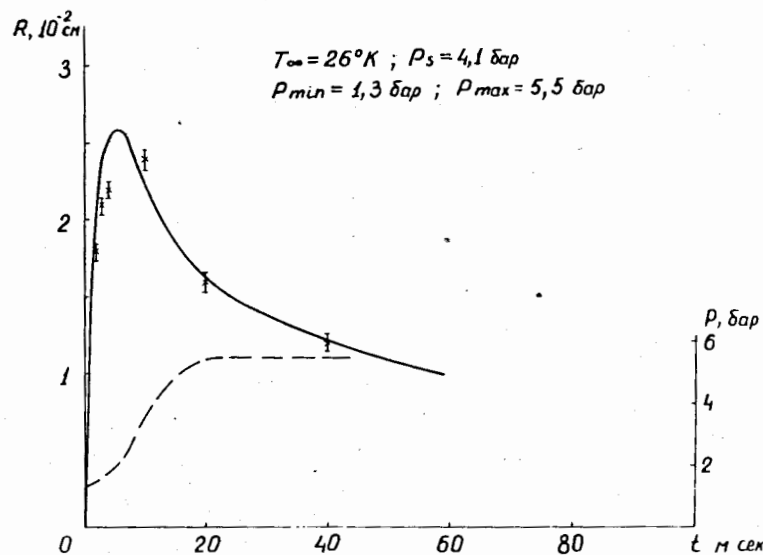


Рис. I Поведение пузырька в течение цикла жидководородной пузырьковой камеры ДЕЗИ. Сплошная кривая соответствует численному решению. Пунктиром обозначено изменение давления.

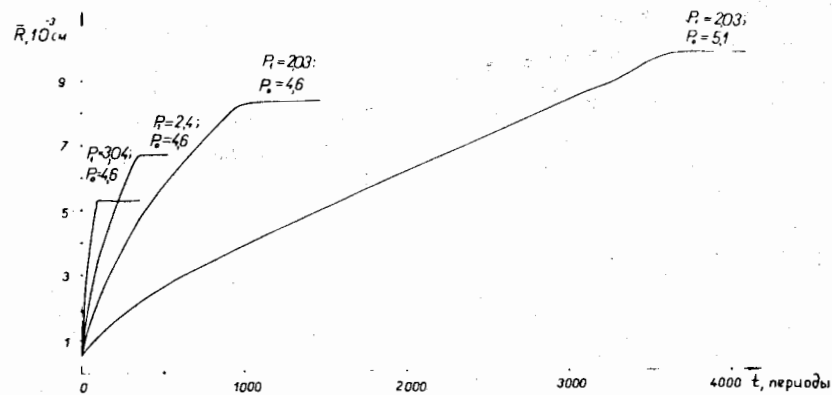


Рис.2. Зависимости $\bar{R}(t)$ при различных амплитудах ультразвукового поля и различным статическом давлении.

На рис.2 показаны решения, соответствующие поведению пузырька в ультразвуковом поле. Видно, что исходный пузырек начинает расти и достигает некоторого асимптотического значения. Полученный результат позволяет сделать вывод принципиального значения о возможности создания ультразвуковой пузырьковой камеры. Механизмом роста пузырька является выпрямленная тепловая диффузия^{/13/}.

В третьей главе рассмотрены следствия ковариантности уравнения теплопроводности (3) и уравнения сохранения энергии (2) относительно преобразования независимых переменных как при постоянном, так и при зависящем от времени давлении в жидкости, в частности, в ультразвуковом поле.

В работах^{/8/} было показано, что ковариантность уравнений, описывающих рост пузырька при постоянном давлении, и соответствующих граничных условий по отношению к преобразованию независимых переменных

$$t \rightarrow \tilde{t} = mt; \quad r^2 \rightarrow \tilde{r}^2 = m r^2, \quad (4)$$

где m - произвольный параметр, приводит к решению $R \sim A\sqrt{t}$, где $A > 0$. В этом случае решение уравнения (3) имеет автомодельный вид $T(t, r) = T(\nu)$, $\nu = R(t)/r$.

В общем случае с соответствующими начальными и граничными условиями уравнение (3) ковариантно относительно преобразования (4), если преобразованные решения $\tilde{R}^2(t)$ и $\tilde{T}(\nu)$ выражаются через первоначальные следующим образом:

$$\tilde{R}^2(t) = m R^2(t/m) \quad (5)$$

$$\tilde{T}(\nu) = T(t/m, \nu) \quad (6)$$

Равенство (5) означает, что зависимости $R^2(t)$ образуют одно-

параметрическое автомодельное семейство, отдельные кривые которого связаны друг с другом преобразованием подобия с центром в начале координат.

В классических пузырьковых камерах рост и коллапс паровых пузырьков происходит при изменяющемся во времени давлении. Поскольку давление в такой камере изменяется достаточно медленно, чтобы пренебречь инерционными эффектами, то поведение пузырька можно описать уравнением (3) с начальными и граничными условиями вида

$$\begin{aligned} T(0, r) &= T_0(r), \quad R(0) = R_0 \\ T(t, R) &= T'(t), \quad T(t, 0) = T_\infty \end{aligned} \quad (7)$$

$$\left(L \cdot \frac{dP'}{dt} + C_s P' \right) \cdot \frac{dT'}{dt} = \frac{3}{R^2} \cdot \left(K \frac{dT}{dR} + P' L R \dot{R} \right). \quad (8)$$

Величина, стоящая в скобках левой части соотношения (8), зависит только от температуры $T'(t)$. Нетрудно проверить, что соотношения (7) и (8) ковариантны относительно преобразований (4) и (6), причем остается в силе равенство (7), которое следует дополнить соответствующим преобразованием давления

$$\tilde{P}(t) = P(t/m). \quad (9)$$

Из ковариантности уравнений (3), (7) и (8) следует автомодельность функции $R^2(t)$. На рис.3 сплошной кривой представлено численное решение общей системы уравнений, полученное при тех значениях термодинамических параметров, которые реализованы в течение рабочего цикла жидководородной пузырьковой камеры^{/1/}. Изменение давления в камере представлено на нижнем графике. Пунктиром представлены численные решения, которые соответствуют преобразованным зависимостям $\tilde{P}(t)$, при $m = 2$ и 4 . Видно, что факторы, нарушающие автомодельность, и в этом случае несущественны. Учет инерции жидкости, существенный при быстром изменении давления, описывается уравнением Рэлея, которое некова-

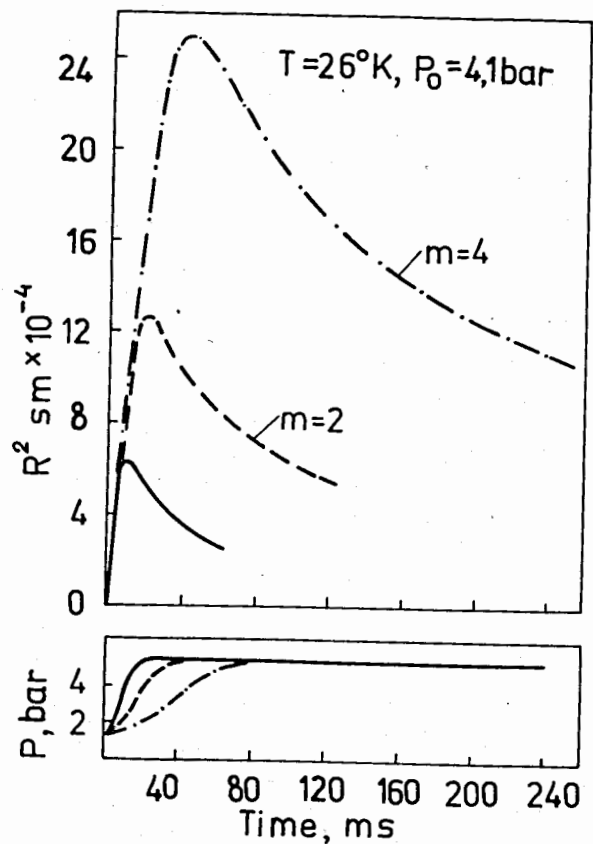


Рис. 3. Зависимости $R(t)$ в течение рабочего цикла жидководородной пузырьковой камеры при различных режимах. Сплошная кривая соответствует экспериментальным данным [12]. На нижнем графике представлены соответствующие зависимости давления в камере от времени $P(t)$.

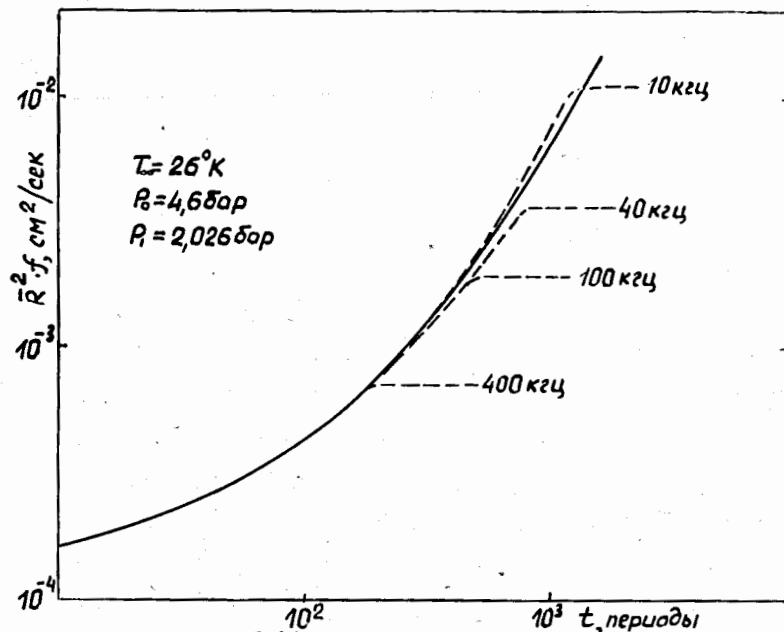


Рис. 4. Зависимости $R(t)$ в жидком водороде. Сплошная кривая соответствует решениям, полученным без учета инерциальных членов. Пунктирные кривые соответствуют решениям с учетом инерциальных членов.

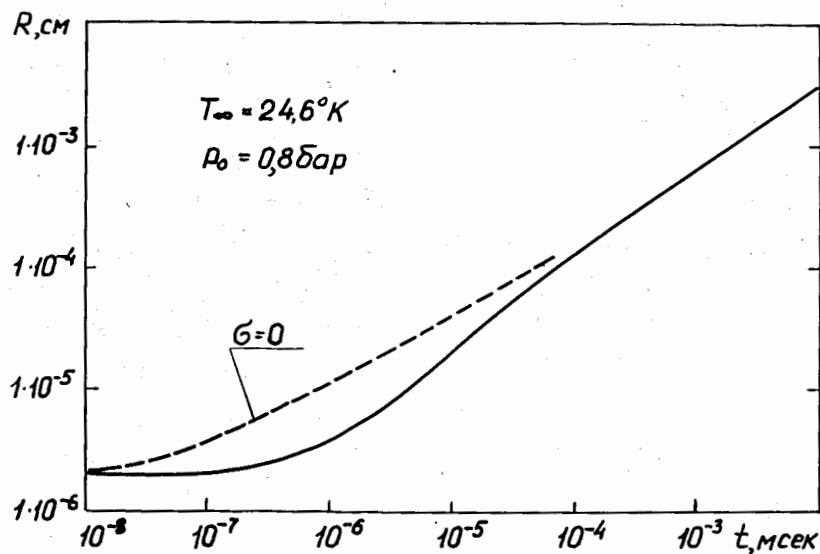


Рис. 5. Зависимости радиуса зародышевого пузырька от времени: сплошная кривая - с учетом поверхностного натяжения; пунктирная - без учета.

риантно при преобразовании (4) и (6). Таким образом, поведение пузырька в ультразвуковой камере определяется в общем случае нековариантной системой уравнений. Однако в работах^{/13-15/} было показано, что рост однородного парового пузырька в ультразвуковой камере определяется выпрямленной тепловой диффузией. Это означает, что соотношения (3), (7), (8) и в этом случае играют существенную роль, и, следовательно, их ковариантность относительно преобразований (4) и (6) должна существенным образом сказываться на свойствах зависимостей $\bar{R}^2(t)$, (\bar{R} - средний за период радиус пузырька). В статическом приближении (пренебрежение инерцией жидкости) давление пара в пузырьке определяется функцией вида $P' = P_0 - P_1 \sin(2\pi ft)$.

Преобразование (9) для такой функции

$$P(t) = P \left(\frac{ft}{m} \right) \equiv P(\tilde{f}, t) \quad (I0)$$

$$\tilde{f} = f/m \quad (II)$$

приводит к связи между кривыми $\bar{R}^2(t)$, соответствующими частотам f и \tilde{f} .

Исключив параметр преобразования m из равенства (5) и (II) и перейдя к измерению времени в периодах ультразвукового поля, получаем универсальную зависимость

$$F(n) = \tilde{f} \bar{R}^2(n) = f \tilde{\bar{R}}^2(n), \quad (I2)$$

где n - число периодов ультразвукового поля. На рис.4 сплошной линией представлены решения, полученные численным интегрированием системы уравнений (2)-(3) в статическом приближении при различных частотах. Функция $f \bar{R}^2$ действительно имеет универсальный, независимый от частоты вид.

Система уравнений (I)-(3), учитывающая инерцию жидкости, нековариантна, и ее решения, показанные на рис.4 пунктиром, не обладают свойствами универсальности. Различие позволяет судить о степени

нарушения автомодельности и выявить роль инерциальных эффектов при пульсациях парового пузырька в ультразвуковом поле.

Как и следовало ожидать, по мере роста пузырька и приближения его резонансной частоты к частоте ультразвука, существенную роль начинают играть инерционные эффекты, и автомодельность нарушается тем раньше, чем выше частота ультразвукового поля. Отношение частот собственных пульсаций на асимптотическом участке к частоте вынуждающих $f_{\text{соб}}/f \sim 10$. Для достаточно низких частот автомодельное поведение кривых $\bar{R}^2 f$ имеет место, что позволяет получить зависимость \bar{R}^2 , не прибегая к численным расчетам.

В четвертой главе приводятся результаты расчетов, определяемых конкретными условиями экспериментов с ультразвуковыми камерами: определяется роль поверхностного натяжения и начальной фазы ультразвука на динамику зародышевого пузырька, приводятся значения кавитационного и диффузионного порогов для жидкого водорода, приводятся результаты решений исходной системы уравнений с начальными и граничными условиями, соответствующими тем значениям термодинамических и акустических параметров, которые реализовались в экспериментах с гелиевой и водородной ультразвуковыми пузырьковыми камерами. Обсуждаются результаты экспериментов и пути дальнейшего развития теории.

Как показано во второй главе, радиус пузырька увеличивается при пульсациях в результате действия выпрямленной тепловой диффузии. Однако существует пороговое значение амплитуды $P_{\text{дифф}}$ такое, что при $P_I < P_{\text{дифф}}$ действия выпрямленной диффузии недостаточно и начальный пузырек захлопывается. При амплитудах $P_I > P_{\text{кав}}$, где $P_{\text{кав}}$ - кавитационный порог, пульсации пузырька имеют настолько большую амплитуду, что он захлопывается в фазе сжатия. Ультразвуковая пузырьковая камера осуществима лишь в том случае, когда $P_{\text{дифф}} < P_{\text{кав}}$ для

всего диапазона радиусов пузырька от зародышевого до видимого размера. Для случая жидкого водорода ($T_{\infty} = 27^{\circ}\text{K}$, $P_0 = 5,0$ бар, $R_0 = 2 \cdot 10^{-6}$ см) $P_{\text{дифф}}$ и $P_{\text{кав}}$ были численно рассчитаны для частот от 30 до 400 кгц. Значения диффузионного и кавитационного порогов оказались постоянными: $P_{\text{дифф}} = 1,8$ бар, $P_{\text{кав}} = 4,4$ бар. Отсутствие зависимости от частоты можно объяснить тем, что собственная частота пульсаций зародышевого пузырька находится далеко за пределами исследуемого диапазона частот используемых ультразвуковых полей. При $P_{\text{дифф}} < P_I < P_{\text{кав}}$ зародышевый пузырек вырастает вплоть до асимптотических размеров, т.е. для $R_0 > 2 \cdot 10^{-6}$ см интервал допустимых значений P_I может только увеличиться.

Чтобы выяснить роль поверхностного натяжения, уместно рассмотреть эволюцию зародышевого пузырька в перегретой жидкости без усложняющего влияния ультразвукового поля. На рис.5 представлены зависимости радиуса пузырька от времени при $R_0 = 2 \cdot 10^{-6}$ см, $P_0 = 0,8$ бар, $T_{\infty} = 24,6^{\circ}\text{K}$, причем пунктирная кривая соответствует случаю $\sigma = 0$. Видно, что по мере роста пузырька обе кривые сближаются и поведение пузырька определяется формулой $R \sim \sqrt{t}$. Существующие экспериментальные данные^{/16/} подтверждают эту зависимость для $R > 5 \cdot 10^{-3}$ см. При малых радиусах пузырька влияние поверхностного натяжения приводит к уменьшению эффективного перегрева жидкости и, следовательно, к меньшей скорости роста пузырька.

В результате проведенных экспериментов с гелиевой^{/2/} и водородной^{/3-6/} ультразвуковыми пузырьковыми камерами было показано, что зародышевый пузырек, инициированный заряженной частицей, вырастает до видимых размеров $\sim 10^{-2}$ см в течение 60-100 периодов ультразвукового поля. На рис.6 сплошными линиями нанесены теоретические

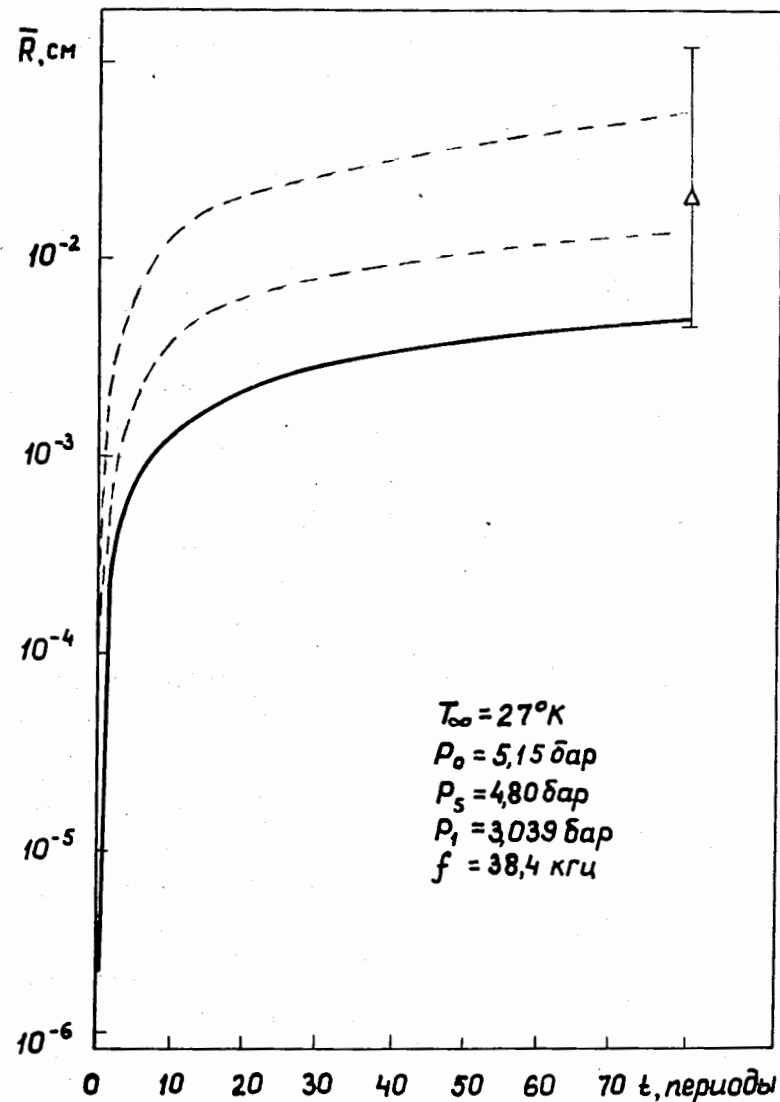


Рис. 6. Зависимость среднего радиуса пузырька от времени в ультразвуковой жидководородной пузырьковой камере

зависимости среднего за период радиуса пузырька от времени в водороде, а также приведены экспериментальные значения размеров одиночных пузырьков, полученные в ультразвуковой камере по истечении ~80 циклов! Между теорией и экспериментом имеется удовлетворительное соответствие. Однако необходимо отметить следующее.

Во-первых, теоретические кривые описывают поведение отдельного пузырька, в то время как экспериментальные данные могут соответствовать пузырьку, возникшему в результате взаимодействия группы близко расположенных пузырьков, как это происходит в классических камерах.

Во-вторых, теоретическое описание динамики пузырьков справедливо до тех пор, пока пар в пузырьке можно считать однородным. Если внутри пузырька механизм передачи тепла является только теплопроводность, то предположение об однородности пара справедливо, когда выполняется соотношение

$$R \leq \sqrt{2 D' \tau} = \ell_{\text{дифф}} \quad (13)$$

($\ell_{\text{дифф}}$ - диффузионная длина, τ - время, в течение которого происходит существенное изменение температуры в пузырьке, равное по порядку величины периоду ультразвукового поля). Если в дополнение к теплопроводности возникает конвекция, которая способствует уменьшению неоднородностей, то появляется возможность рассматривать в рамках этого подхода более крупные однородные пузырьки, чем те, которые определяются соотношением (13).

В-третьих, по мере роста пузырька его сферическая форма становится неустойчивой, что приводит к возникновению микропотоков жидкости вокруг пузырька, что в свою очередь приводит к более интенсивному теплообмену с окружающей жидкостью и резкому увеличению скорости роста пузырька^{/17/}. В данном подходе влияние микропотоков учитывается.

Роль обоих этих факторов может быть оценена путем замены коэффициента теплопроводности жидкости K на величину $K_{\text{эфф}} = (10+100)K$. На рис.6 соответствующие кривые проведены пунктиром. Из характера кривых видно, что указанная грубая оценка позволяет описать имеющиеся экспериментальные данные. Для окончательного выяснения соответствия теории и эксперимента необходима более полная экспериментальная информация о росте пузырька от зародышевого до асимптотического размеров.

Основные результаты диссертации приведены в Заключение:

1. Показано, что при определенных значениях акустических и термодинамических параметров в жидкости, находящейся под давлением, большем давления насыщенных паров, пульсирующий под действием ультразвука пузырек растет. Механизмом роста пузырька является выпрямленная тепловая диффузия.

2. Исследована зависимость асимптотического радиуса от частоты и амплитуды ультразвукового поля, температуры и статического давления жидкости.

3. Определены значения кавитационного и диффузионного порогов при значениях параметров, соответствующих рабочему режиму водородной ультразвуковой пузырьковой камеры, и исследована их зависимость от частоты.

4. Показано существование соотношений подобия для решений, описывающих коллапс пузырька при постоянном давлении в течение рабочего цикла классической водородной пузырьковой камеры, а также при пульсациях пузырька при различных частотах ультразвука, что, в частности, позволяет в дальнейшем резко сократить объем численных расчетов. Выявлена роль инерциальных факторов, нарушающих автоматичность. Показано, что в асимптотическом режиме отношение частоты

собственных пульсаций к частоте ультразвукового поля $f_{\text{ос}}/f \sim 10$, что позволяет оценивать величину асимптотического радиуса, не прибегая к численным расчетам.

5. Получены численные решения, описывающие изменение радиуса пузырька от времени при значениях акустических и термодинамических параметров, соответствующих рабочим режимам гелиевой и водородных ультразвуковых пузырьковых камер. Расчетное значение радиуса соответствует размерам пузырьков, наблюдаемых в экспериментах.

6. Исследовано влияние на скорость пузырька поверхностного натяжения и начальной фазы ультразвукового поля. Результаты расчетов согласуются с имеющимися экспериментальными данными.

Материалы, на основании которых написана диссертация, опубликованы в работах /15, 18-22/ и докладывались на Симпозиуме по программированию и использованию численных методов решения физических задач (Дубна, 1973), на УШ Всесоюзной акустической конференции (Москва, 1973), УП Международной конференции по аппаратуре в физике высоких энергий (Фраскати, 1973), УI Международном симпозиуме по нелинейной акустике (Москва, 1975).

Литература

1. R.D.Watt, SLAC-PUB-1247 (1973); L.Voyvodic, FN-265,2100.0 (1974); W.W.M.Allison et al, CERN/CPSC/75-15.
2. R.C.A.Brown, H.J.Nilke, A.N.Rogers. Nature 220, 1177 (1968).
3. Nobuhiro Ishihara et al, Japan J. Appl. Phys. 14, 101 (1975).
4. В.А.Акуличев, Л.Г.Гаврилов, В.Г.Гребинник, В.А.Жуков, Г.Либман, А.П.Маныч, Д.И.Рудин, Л.Д.Розенберг, Г.И.Селиванов. ДАН СССР, 189, 973 (1965); Акустический журнал, 15, 505 (1969).
5. R.C.A.Brown, G.Harigel, H.J.Nilke. Nucl.Instr.Meth. 82, 327 (1970)
6. В.А.Акуличев, В.Г.Гребинник, В.А.Жуков, В.А.Красильников, А.П.Маныч, Г.И.Селиванов. ОИЯИ, РИЗ-6513, Дубна (1972).
7. В.А.Акуличев, В.Г.Гребинник, В.А.Жуков, А.М.Копова, В.А.Красильников, А.П.Маныч, Г.И.Селиванов, В.П.Юшин. ДАН СССР, 216, 517 (1974).

8. G.Birkhoff, R.S.Margulies, W.A.Horning, Phys.Fluids 1, 201 (1958); Л.Г.Ткачев. ОИЯИ, РИЗ-726, Дубна, 1968.
9. M.S.Fleissner, S.A.Zwick, J.Appl.Phys., 25, 493 (1954).
10. H.K.Forster, N.Zuber. J.Appl.Phys., 25, 474 (1954).
11. R.D.Finch, E.A.Neppiras. JASA, 53, 1402 (1973).
12. G.Harigel, G.Horlitz, S.Wolff. Preprint DESY 693/14 (1967).
13. В.А.Акуличев, В.Н.Алексеев, К.А.Наугольных, Л.Г.Ткачев, В.Д.Шестаков. ОИЯИ, РИЗ-5327, 1970.
14. Л.Г.Ткачев, В.Д.Шестаков. Акустический журнал, 18, 433 (1972).
15. Л.Г.Ткачев, В.Д.Шестаков. Акустический журнал, 19, 257 (1973).
16. G.Harigel et al. J.Appl.Phys. 40, 4962 (1969).
17. R.K.Gould, JASA, 56, 1740 (1974).
18. Л.Г.Ткачев, В.Д.Шестаков. ОИЯИ, РИЗ-6037, Дубна, 1971.
19. Л.Г.Ткачев, В.Д.Шестаков. ОИЯИ, РИЗ-7206, Дубна, 1973.
20. Л.Г.Ткачев, В.Д.Шестаков. Материалы симпозиума по программированию и численным методам решения физических задач. Дубна, 1973.
21. V.D.Shestakov, L.G.Tkachev, Int.J.Heat Mass Transf. 18, 681 (1975).
22. Л.Г.Ткачев, В.Д.Шестаков. Труды УI Международного симпозиума по нелинейной акустике. М., изд. МГУ, 1975.

Рукопись поступила в издательский отдел
21 июля 1975 года.